

Two-level system

Laser excitation, Landau-Zener
transition, resonant collisions,
radiatively assisted collisions

Variables internes et externes

$$\hat{H} = \frac{\hat{p}_1^2}{2m_1} + \frac{\hat{p}_2^2}{2m_2} + V\left(\left|\hat{\vec{r}}_1 - \hat{\vec{r}}_2\right|\right)$$

$$\vec{R} = \frac{m_1 \vec{r}_1 + m_2 \vec{r}_2}{M}, \quad \vec{P} = \vec{p}_1 + \vec{p}_2, \quad \vec{r} = \vec{r}_1 - \vec{r}_2, \quad \vec{p} = \frac{m_2 \vec{p}_1 - m_1 \vec{p}_2}{M}$$

$$\hat{H} = \frac{\hat{P}}{2M} + \frac{\hat{p}}{2\mu} + V(\hat{r}) = \hat{H}_{CM} + \hat{H}_{rel}$$

$$\begin{aligned} [\hat{X}_j, \hat{P}_k] &= i\hbar\delta_{jk}, \quad [\hat{x}_j, \hat{p}_k] = i\hbar\delta_{jk}, \quad [\hat{x}_j, \hat{P}_k] = 0, \\ [\hat{X}_j, \hat{p}_k] &= 0, \quad [\hat{H}_{CM}, \hat{H}_{rel}] = 0 \end{aligned}$$

En absence d'interaction, l'hamiltonien est la somme de 2 hamiltoniens qui commutent.

Les fonctions d'onde sont alors factorisables.

Plan du cours I

- I - Hamiltonien d'interaction avec une onde électromagnétique
- II - Evolution en bande étroite sans relaxation d'un système à deux niveaux
 - Traitement perturbatif dépendant du temps
 - Approximation du champ tournant, profil de Rabi...
 - Franges de Ramsey, méthode d'excitation en champs séparés

I - Hamiltonien d'interaction avec une onde électromagnétique

Onde électromagnétique : $\{\vec{E}(\vec{r}, t), \vec{B}(\vec{r}, t)\}$ **vecteurs réels**

Équations de Maxwell

$$\vec{\nabla} \times \vec{E}(\vec{r}, t) = -\frac{\partial \vec{B}(\vec{r}, t)}{\partial t} ; \vec{\nabla} \cdot \vec{B}(\vec{r}, t) = 0$$

$$\vec{\nabla} \cdot \vec{E}(\vec{r}, t) = -\frac{\rho(\vec{r}, t)}{\epsilon_0} ; \vec{\nabla} \times \vec{B}(\vec{r}, t) = \mu_0 j(\vec{r}, t) + \epsilon_0 \mu_0 \frac{\partial \vec{E}(\vec{r}, t)}{\partial t}, \text{ avec } \epsilon_0 \mu_0 c^2 = 1$$

$$\vec{\nabla} \cdot \vec{B} = 0 \Rightarrow \vec{B} = \vec{\nabla} \times \vec{A} ; \vec{\nabla} \times \left(\vec{E} + \frac{\partial \vec{A}}{\partial t} \right) = \vec{0} \Rightarrow \vec{E} = -\vec{\nabla} U - \frac{\partial \vec{A}}{\partial t}$$

le couple $\{\vec{A}, U\}$ décrit un jauge

changement de jauge : $\vec{A}'(\vec{r}, t) = \vec{A}(\vec{r}, t) + \vec{\nabla} \chi(\vec{r}, t)$; $U'(\vec{r}, t) = U(\vec{r}, t) - \frac{\partial \chi(\vec{r}, t)}{\partial t}$

Équations du mouvement de $\vec{A}(\vec{r}, t)$ et $U(\vec{r}, t)$

$$\vec{\nabla} \cdot \left(-\vec{\nabla} U - \frac{\partial \vec{A}}{\partial t} \right) = \frac{\rho}{\epsilon_0} \quad ; \quad \vec{\nabla} \times (\vec{\nabla} \times \vec{A}) = \mu_0 \vec{j} + \frac{1}{c^2} \frac{\partial}{\partial t} \left(-\vec{\nabla} U - \frac{\partial \vec{A}}{\partial t} \right)$$

Jauge de Coulomb (ou radiative) : $\vec{\nabla} \cdot \vec{A} = 0$; propagation dans le vide $\rho = 0, \vec{j} = \vec{0}$

$$\Delta U = 0 \quad (U = 0) ; \quad \vec{\nabla} \times (\vec{\nabla} \times \vec{A}) + \frac{1}{c^2} \frac{\partial^2 \vec{A}}{\partial t^2} = -\Delta \vec{A} + \vec{\nabla} (\vec{\nabla} \cdot \vec{A}) + \frac{1}{c^2} \frac{\partial^2 \vec{A}}{\partial t^2} = 0$$

Onde électromagnétique plane monochromatique progressive de pulsation ω :

$$\vec{A}(r, t) = \operatorname{Re} \left\{ \vec{A}_0 \exp - i(\omega t - \vec{k} \cdot \vec{r}) \right\}, \text{ avec } k^2 - \frac{\omega^2}{c^2} = 0 \text{ et } \vec{\nabla} \cdot \vec{A} = 0 \Rightarrow \vec{k} \cdot \vec{A}_0 = 0$$

$$\vec{E} = \operatorname{Re} \left\{ i\omega \vec{A}_0 \exp - i(\omega t - \vec{k} \cdot \vec{r}) \right\} ; \quad \vec{B} = \operatorname{Re} \left\{ i\vec{k} \times \vec{A}_0 \exp - i(\omega t - \vec{k} \cdot \vec{r}) \right\}$$

$$\vec{E}_0 = i\omega \vec{A}_0 ; \quad \vec{B}_0 = i\vec{k} \times \vec{A}_0 \quad \Rightarrow \quad \{\vec{E}, \vec{B}, \vec{k}\} \text{ forment un trièdre rectangle}$$

$$\text{fréquence } \nu = \frac{\omega}{2\pi}, \text{ longueur d'onde } \lambda = \frac{c}{\nu}, \text{ nombre d'onde } k = \frac{\omega}{c} = \frac{2\pi}{\lambda}$$

Polarisation linéaire : $\vec{E} = E_0 \vec{e}_x \cos(\omega t - kz + \varphi)$,

$$\vec{B} = B_0 \vec{e}_y \cos(\omega t - kz + \varphi), \text{ avec } B_0 = \frac{E_0}{c}$$

Polarisation σ_{\pm} définies par rapport à l'axe de quantification \vec{e}_z

$$\vec{e}_+ = -\frac{\vec{e}_x + i\vec{e}_y}{\sqrt{2}} ; \vec{e}_- = \frac{\vec{e}_x - i\vec{e}_y}{\sqrt{2}} ; \vec{E}_{\pm} = \operatorname{Re} \left\{ E_0 \vec{e}_{\pm} \exp - i(\omega t - kz + \varphi) \right\}$$

$$\vec{E}_+ = -\frac{E_0}{\sqrt{2}} \left\{ \vec{e}_x \cos(\omega t - kz + \varphi) + \vec{e}_y \sin(\omega t - kz + \varphi) \right\}$$

$$\vec{E}_- = \frac{E_0}{\sqrt{2}} \left\{ \vec{e}_x \cos(\omega t - kz + \varphi) - \vec{e}_y \sin(\omega t - kz + \varphi) \right\}$$

Polarisation elliptique : $\vec{E} = \operatorname{Re} \left\{ \vec{E}_0 \exp - i(\omega t - kz) \right\}$

$$\vec{E}_0 = E_{0+} \exp(-i\varphi_+) \vec{e}_+ + E_{0-} \exp(-i\varphi_-) \vec{e}_-$$

$$\vec{E} = \frac{1}{\sqrt{2}} \left\{ E_a \vec{e}_a \cos(\omega t - kz + \varphi) + E_b \vec{e}_b \sin(\omega t - kz + \varphi) \right\}$$

$$\vec{e}_a = -\cos \theta \vec{e}_x - \sin \theta \vec{e}_y, \quad \vec{e}_b = \sin \theta \vec{e}_x - \cos \theta \vec{e}_y, \quad \vec{e}_a \cdot \vec{e}_b = 0$$

$$E_a = E_{0+} - E_{0-}, \quad E_b = E_{0+} + E_{0-}, \quad \varphi = \frac{(\varphi_+ + \varphi_-)}{2}, \quad \theta = \frac{(\varphi_+ - \varphi_-)}{2}$$

Faisceau gaussien

$$\vec{E}(\vec{r}, t) = \operatorname{Re} \left\{ \frac{\vec{A}}{iz_0} \frac{W_0}{W(z)} \exp \left(-\frac{\rho^2}{W^2(z)} \right) \exp \left(-ikz - ik \frac{\rho^2}{2R(z)} + i\xi(z) \right) \exp i\omega t \right\}$$

Rayon de courbure : $R(z) = z \left[1 + \left(\frac{z_0}{z} \right)^2 \right]$

Extension spatiale : $W(z) = W_0 \left[1 + \left(\frac{z}{z_0} \right)^2 \right]^{1/2}$, taille du faisceau : $W_0 = \left(\frac{\lambda z_0}{\pi} \right)^{1/2}$

Phase de Guoy : $\xi(z) = \operatorname{Arc} \tan \frac{z}{z_0}$

Intensité d'une onde électromagnétique :

$$\vec{B} \cdot (\vec{\nabla} \times \vec{E}) = -\vec{B} \cdot \frac{\partial \vec{B}}{\partial t}, \quad \vec{E} \cdot (\vec{\nabla} \times \vec{B}) - \vec{\nabla} \cdot (\vec{B} \times \vec{E}) = -\vec{B} \cdot \frac{\partial \vec{B}}{\partial t}$$

$$\frac{1}{\mu_0} \vec{\nabla} \cdot (\vec{E} \times \vec{B}) + \frac{\epsilon_0}{2} \frac{\partial E^2}{\partial t} + \frac{1}{2\mu_0} \frac{\partial B^2}{\partial t} = 0$$

En appliquant la formule d'Ostrogradski :

$$\frac{1}{\mu_0} \iint (\vec{E} \times \vec{B}) \cdot d\vec{S} + \iiint \left(\frac{\epsilon_0}{2} \frac{\partial E^2}{\partial t} + \frac{1}{2\mu_0} \frac{\partial B^2}{\partial t} \right) dV = 0$$

Pour une onde plane le flux énergétique moyen (ou intensité) est donné par :

$$I = \frac{\epsilon_0 c}{2} |E_0|^2$$

Hamiltonien d'interaction ($q < 0$)

$$\hat{H} = \frac{1}{2m} \left[\hat{\vec{p}} - q\vec{A}(\hat{\vec{r}}, t) \right]^2 + qU(\hat{\vec{r}}, t)$$

Théorème d'Ehrenfest : $i\hbar \frac{d \langle \hat{C} \rangle}{dt} = i\hbar \left\langle \frac{\partial \hat{C}}{\partial t} \right\rangle + \left\langle [\hat{C}, \hat{H}] \right\rangle$

$$\frac{d \langle \hat{\vec{r}} \rangle}{dt} = \frac{1}{i\hbar} \left\langle [\hat{\vec{r}}, \hat{H}] \right\rangle = \frac{1}{m} \left\langle \hat{\vec{p}} - q\vec{A}(\hat{\vec{r}}, t) \right\rangle = \left\langle \hat{\vec{v}} \right\rangle$$

$$m \frac{d \langle \hat{\vec{v}} \rangle}{dt} = q \left\langle \frac{\hat{\vec{v}} \times \vec{B}(\hat{\vec{r}}, t) - \vec{B}(\hat{\vec{r}}, t) \times \hat{\vec{v}}}{2} \right\rangle + q \left\langle \vec{E}(\hat{\vec{r}}, t) \right\rangle$$

$$\text{Hamiltonien : } \hat{H} = \frac{1}{2m} \left[\hat{\vec{p}} - q\vec{A}(\hat{\vec{r}}, t) \right]^2 + V(\hat{\vec{r}}) - \frac{q}{m} \hat{\vec{S}} \cdot \vec{B}(\hat{\vec{r}}, t)$$

$$\hat{H} = \left(\frac{\hat{\vec{p}}^2}{2m} + V(\hat{\vec{r}}) \right) - \frac{q}{m} \hat{\vec{p}} \cdot \vec{A}(\hat{\vec{r}}, t) + \frac{q^2}{2m} \left| \vec{A}(\hat{\vec{r}}, t) \right|^2 - \frac{q}{m} \hat{\vec{S}} \cdot \vec{B}(\hat{\vec{r}}, t)$$

Remarque en jauge de Coulomb : $\left[\hat{\vec{p}}, \vec{A}(\hat{\vec{r}}, t) \right] = \frac{\hbar}{i} \vec{\nabla} \cdot \vec{A}(\hat{\vec{r}}, t) = 0$

$$\frac{q^2}{2m} \left| \vec{A}(\hat{\vec{r}}, t) \right|^2 \ll \left| \frac{q}{m} \hat{\vec{p}} \cdot \vec{A}(\hat{\vec{r}}, t) \right|$$

$$\frac{\left| \frac{q}{m} \hat{\vec{S}} \cdot \vec{B}(\hat{\vec{r}}, t) \right|}{\left| \frac{q}{m} \hat{\vec{p}} \cdot \vec{A}(\hat{\vec{r}}, t) \right|} \approx \frac{\hbar k}{p} \approx \frac{a_0}{\lambda} \ll 1$$

$$\hat{H} = \left(\frac{\hat{\vec{p}}^2}{2m} + V(\hat{\vec{r}}) \right) - \frac{q}{m} \hat{\vec{p}} \cdot \vec{A}(\hat{\vec{r}}, t)$$

Approximation dipolaire électrique : $\exp(ikz) = 1 + ikz - \frac{(kz)^2}{2} + \dots \approx 1$

$$\hat{H} = \left(\frac{\hat{\vec{p}}^2}{2m} + V(\hat{\vec{r}}) \right) - \frac{q}{m} \hat{\vec{p}} \cdot \vec{A}(\vec{0}, t), \text{ si } k_z \sim \frac{a_0}{\lambda} \ll 1$$

$$\hat{H} = \hat{H}_0 + \hat{W}_{DE}, \text{ avec : } \hat{W}_{DE} = -\frac{q}{m} \hat{\vec{p}} \cdot \vec{A}(\vec{0}, t)$$

Autre forme de l'hamiltonien (transformation de jauge de Göppert-Mayer)

$$\hat{W}'_{DE} = -\hat{\vec{D}} \cdot \vec{E}(\vec{0}, t), \text{ avec le moment dipolaire : } \hat{\vec{D}} = q\hat{\vec{r}}$$

$$\text{Jauge de Coulomb : } \vec{A}(\vec{r}, t) = -\frac{E_0}{\omega} \vec{e}_x \sin(\omega t - kz + \varphi), \quad U(\vec{r}, t) = 0$$

$$\text{Changement de jauge : } \chi(\vec{r}, t) = \frac{E_0}{\omega} x \sin(\omega t + \varphi)$$

$$\vec{A}'(\vec{r}, t) = \vec{A}(\vec{r}, t) + \vec{\nabla} \chi(\vec{r}, t) = \frac{E_0}{\omega} \vec{e}_x \left[-\sin(\omega t - kz + \varphi) + \sin(\omega t + \varphi) \right],$$

$$U'(\vec{r}, t) = U(\vec{r}, t) - \frac{\partial \chi(\vec{r}, t)}{\partial t} = -xE_0 \cos(\omega t + \varphi)$$

$$kz \approx 0 \Rightarrow \vec{A}'(\vec{r}, t) = 0, \quad U'(\vec{r}, t) = -xE_0 \cos(\omega t + \varphi)$$

$$\hat{H} = \frac{1}{2m} \left[\hat{\vec{p}} - q\vec{A}(\vec{0}, t) \right]^2 + qV(\hat{r})$$

$$\hat{H}' = \frac{1}{2m} \left[\hat{\vec{p}} - q\vec{A}'(\hat{r}, t) \right]^2 + qV(\hat{r}) + qU'(\hat{r}, t) = \frac{\hat{p}^2}{2m} + qV(\hat{r}) - q\hat{x}E_0 \cos(\omega t + \varphi)$$

Remarques : dans la nouvelle jauge $\frac{d\langle \hat{\vec{r}} \rangle}{dt} = \frac{\langle \hat{\vec{p}} \rangle}{m} = \langle \hat{\vec{v}} \rangle$

Elément de matrice de W_{DE} : $\langle \psi_f | \hat{W}_{DE} | \psi_i \rangle = \frac{qE_0}{m\omega} \sin(\omega t + \varphi) \langle \psi_f | \hat{p}_x | \psi_i \rangle$

$[\hat{x}, \hat{H}_0] = i\hbar \frac{\partial \hat{H}_0}{\partial x} = i\hbar \frac{\hat{p}_x}{m} \Rightarrow \langle \psi_f | \hat{W}_{DE} | \psi_i \rangle = iqE_0 \frac{\omega_{if}}{\omega} \sin(\omega t + \varphi) \langle \psi_f | \hat{x} | \psi_i \rangle$

II - Evolution en bande étroite sans relaxation d'un système à deux niveaux

$$\hat{H} = \hat{H}_0 + \hat{W}(t)$$

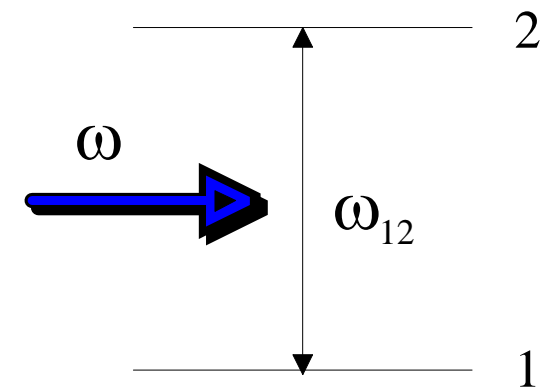
$$\hat{H}_0 = E_1 |1\rangle\langle 1| + E_2 |2\rangle\langle 2|$$

$$\hbar\omega_0 = \hbar\omega_{12} = E_2 - E_1$$

$$\hat{W}(t) = -\hat{\vec{D}} \cdot \vec{E}(t) = -\left(\hat{\vec{D}} \cdot \vec{e}\right) E_0 \cos(\omega t + \varphi)$$

$$\hat{W}(t) = \hbar \left(\frac{\Omega}{2} \exp i\omega t + \frac{\Omega^*}{2} \exp -i\omega t \right) [|2\rangle\langle 1| + |1\rangle\langle 2|]$$

$$\hbar\Omega = -E_0 \exp i\varphi \langle 1 | \hat{\vec{D}} \cdot \vec{e} | 2 \rangle$$



Equation de Schrödinger

$$i\hbar \frac{d}{dt} |\psi(t)\rangle = \hat{H} |\psi(t)\rangle, \text{ avec : } |\psi(t)\rangle = a_1(t)|1\rangle + a_2(t)|2\rangle$$

$$i \frac{d}{dt} a_1(t) = \frac{E_1}{\hbar} a_1(t) + \left(\frac{\Omega}{2} \exp i\omega t + \frac{\Omega^*}{2} \exp -i\omega t \right) a_2(t)$$

$$i \frac{d}{dt} a_2(t) = \frac{E_2}{\hbar} a_2(t) + \left(\frac{\Omega}{2} \exp i\omega t + \frac{\Omega^*}{2} \exp -i\omega t \right) a_1(t)$$

II.1 - Traitement perturbatif dépendant du temps

Etat initial : $a_1(0) = 1, a_2(0) = 0 \Rightarrow a_1^{(0)}(0) = 1, a_i^{(j)}(t) = 0$ si $\{i, j\} \neq \{1, 0\}$

Ordre zéro : $a_1^{(0)}(t) = \exp - \frac{iE_1 t}{\hbar}, a_2^{(0)}(t) = 0$

Ordre un :

$$i \frac{d}{dt} a_1^{(1)}(t) = \frac{E_1}{\hbar} a_1^{(1)}(t)$$

$$i \frac{d}{dt} a_2^{(1)}(t) = \frac{E_2}{\hbar} a_2^{(1)}(t) + \left(\frac{\Omega}{2} \exp i\omega t + \frac{\Omega^*}{2} \exp -i\omega t \right) a_1^{(0)}(t)$$

$$a_1^{(1)}(t) = 0, a_2^{(1)}(t) = \exp - \frac{iE_2 t}{\hbar} [A^+ + A^-]$$

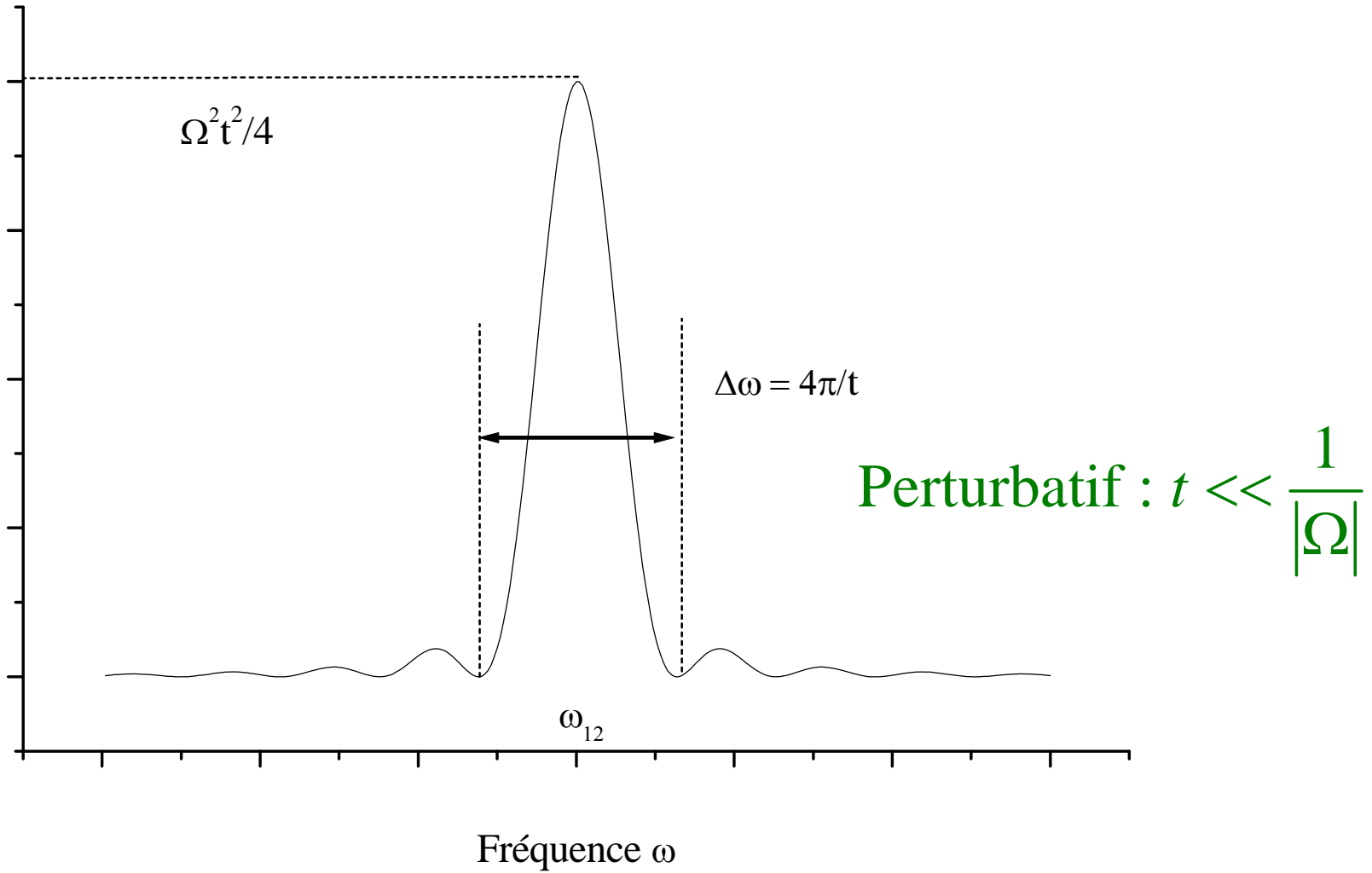
$$\text{Terme anti-résonnant : } A^+ = \frac{\Omega}{2} \frac{\exp i(\omega + \omega_0)t - 1}{i(\omega + \omega_0)} = \frac{\Omega}{2} \exp \left(\frac{i(\omega + \omega_0)t}{2} \right) \frac{\sin((\omega + \omega_0)t/2)}{(\omega + \omega_0)/2}$$

$$\text{Terme résonnant : } A^- = \frac{\Omega^*}{2} \frac{\exp i(\omega - \omega_0)t - 1}{i(\omega - \omega_0)} = \frac{\Omega^*}{2} \exp \left(\frac{i(\omega - \omega_0)t}{2} \right) \frac{\sin((\omega - \omega_0)t/2)}{(\omega - \omega_0)/2}$$

$$P_{1 \rightarrow 2}(t) \approx |A^-|^2 = \frac{|\Omega|^2}{4} \left\{ \frac{\sin((\omega - \omega_0)t/2)}{(\omega - \omega_0)/2} \right\}^2$$

$$(\omega + \omega_0)t \approx 2\omega t \gg 1 \Rightarrow t \ll 1/\omega_0, 1/\omega$$

Probabilité de transition



II.2 - Approximation du champ tournant

On pose : $a_1(t) = \alpha_1(t) \exp - i\omega_l t$, $a_2(t) = \alpha_2(t) \exp - i\omega_l t \exp - i\omega t$

$$i \frac{d}{dt} \alpha_1(t) = \left(\frac{\Omega}{2} + \frac{\Omega^*}{2} \exp - i2\omega t \right) \alpha_2(t)$$

$$i \frac{d}{dt} \alpha_2(t) = -\delta \alpha_2(t) + \left(\frac{\Omega}{2} \exp i2\omega t + \frac{\Omega^*}{2} \right) \alpha_1(t)$$

$$\delta = \omega - \omega_0 = \omega - (\omega_2 - \omega_1)$$

On fait l'approximation que les $\alpha_i(t)$ et leurs dérivées ne varient pas sur une période optique T

$$\alpha_i(t) = \bar{\alpha}_i(t) = \frac{1}{T} \int_t^{t+T} \alpha_i(t') dt', \text{ mais } \frac{1}{T} \int_t^{t+T} \alpha_i(t') \exp(-i2\omega t') dt' \cong 0$$

Les équations peuvent s'écrire (validité : $\omega, \omega_0 \gg |\delta|, |\Omega|$) :

$$i \frac{d}{dt} \alpha_1(t) = \frac{\Omega}{2} \alpha_2(t)$$

$$i \frac{d}{dt} \alpha_2(t) = -\delta \alpha_2(t) + \frac{\Omega^*}{2} \alpha_1(t)$$

$$i \frac{d}{dt} \begin{pmatrix} \alpha_1(t) \\ \alpha_2(t) \end{pmatrix} = \begin{pmatrix} 0 & \frac{\Omega}{2} \\ \frac{\Omega^*}{2} & -\delta \end{pmatrix} \begin{pmatrix} \alpha_1(t) \\ \alpha_2(t) \end{pmatrix}$$

Valeurs propres de la matrice d'évolution : $-\lambda(-\lambda - \delta) - \frac{|\Omega|^2}{4} = 0$

$$\lambda_{\pm} = \frac{1}{2} \left(-\delta \pm \sqrt{\delta^2 + |\Omega|^2} \right) = \frac{1}{2} (-\delta \pm \Omega'), \text{ avec } \Omega' = \sqrt{\delta^2 + |\Omega|^2}$$

Solutions générales : $\alpha_i(t) = (A_i \cos(\Omega' t / 2) + B_i \sin(\Omega' t / 2)) \exp i\delta t / 2$

Les A_i et B_i dépendent des $\alpha_i(0)$. Cas particulier : $\alpha_1(0) = 1, \alpha_2(0) = 0$:

$$\dot{\alpha}_1(0) = 0, \dot{\alpha}_2(0) = -\frac{i\Omega^*}{\Omega'}$$

$$\alpha_1(t) = \left(\cos(\Omega' t / 2) - \frac{i\delta}{\Omega'} \sin(\Omega' t / 2) \right) \exp i\delta t / 2$$

$$\alpha_2(t) = -\frac{i\Omega^*}{\Omega'} \sin(\Omega' t / 2) \exp i\delta t / 2$$

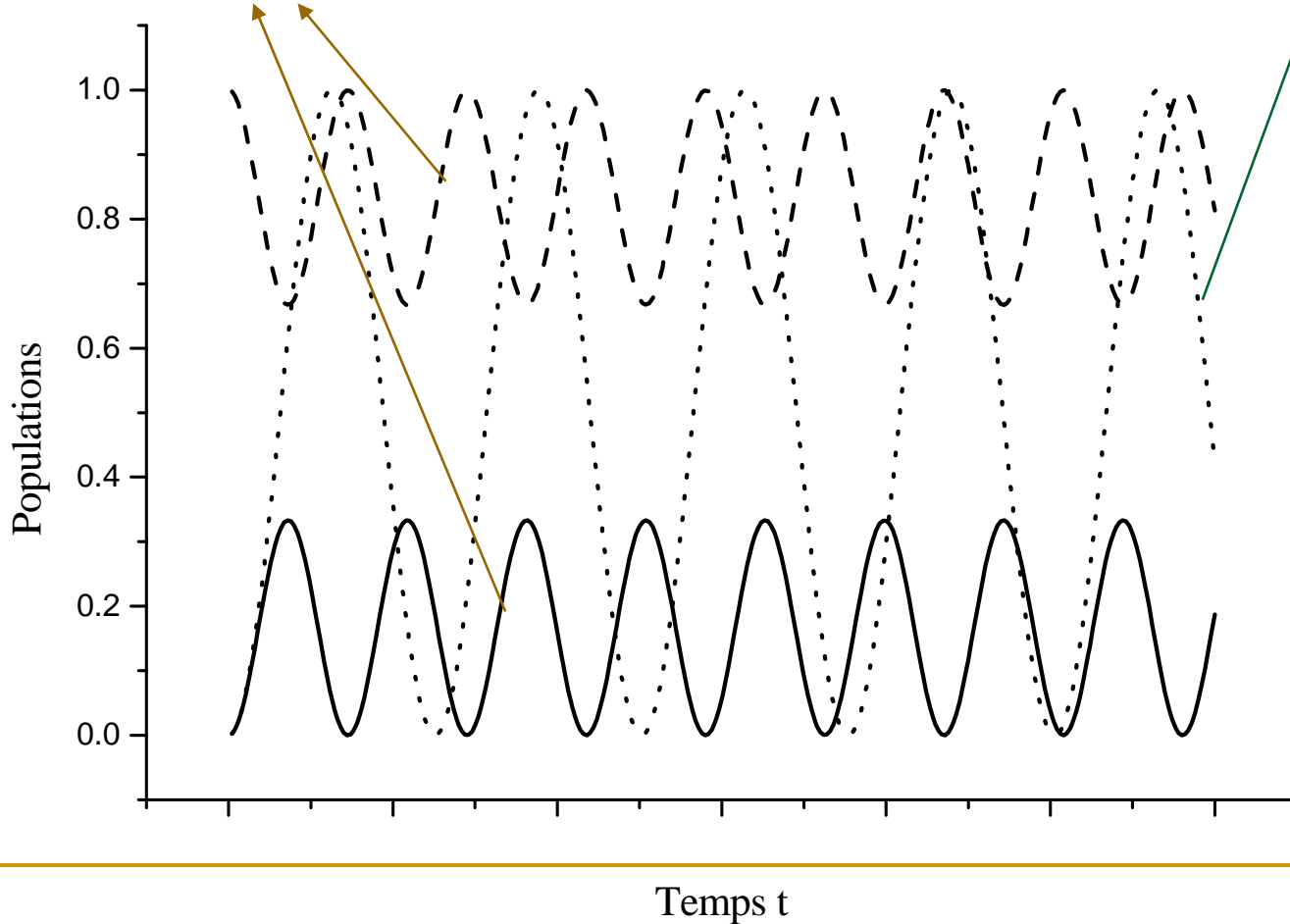
$$N_1(t) = |\alpha_1(t)|^2 = 1 - N_2(t), N_2(t) = \frac{|\Omega|^2}{\Omega'^2} \sin^2(\Omega' t / 2)$$

Le champ e.m. est supposé cohérent pendant la durée de l'interaction

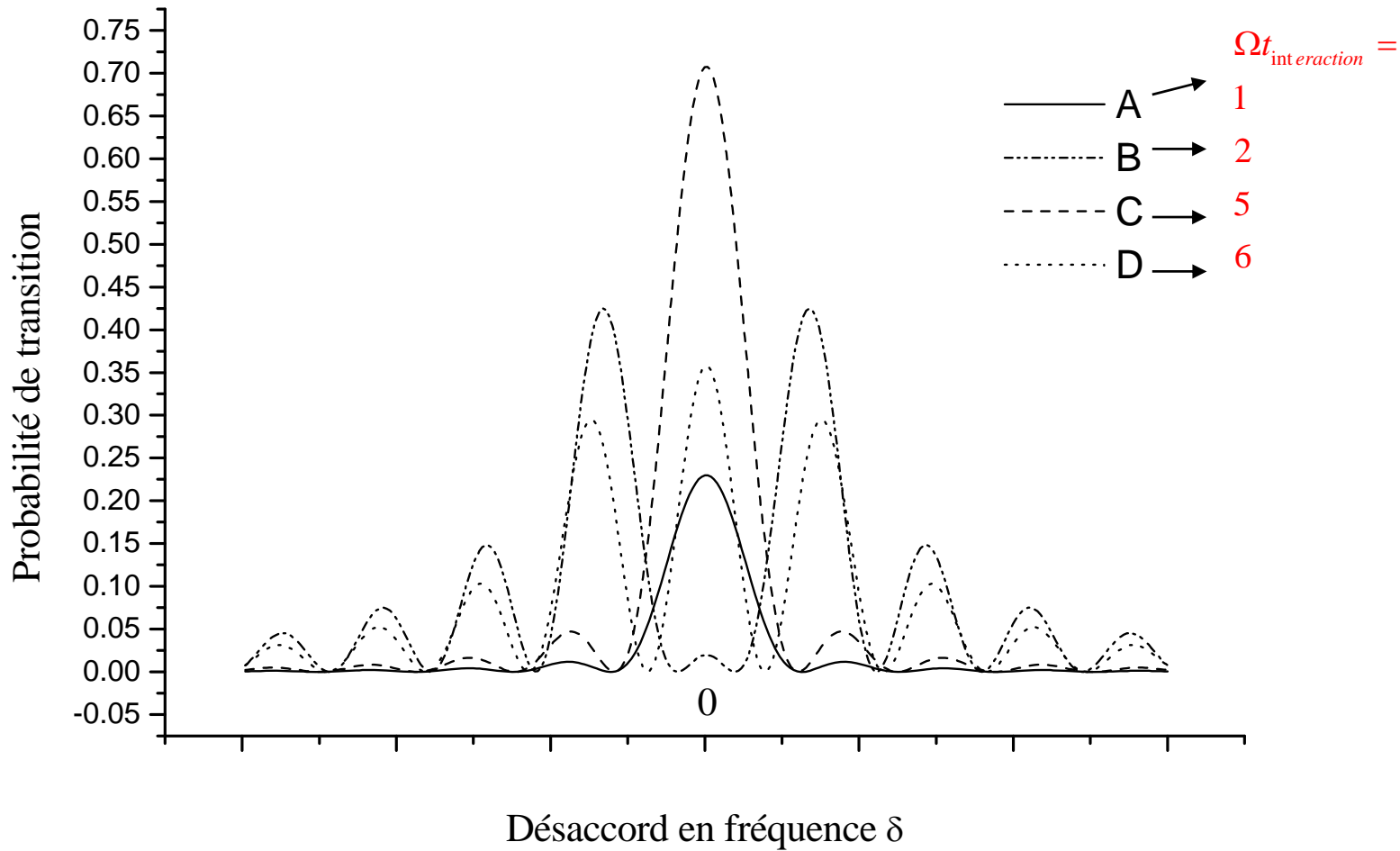
II.2.a - Oscillations de Rabi

Hors résonance (N_1 et N_2)
 $\delta=\Omega$

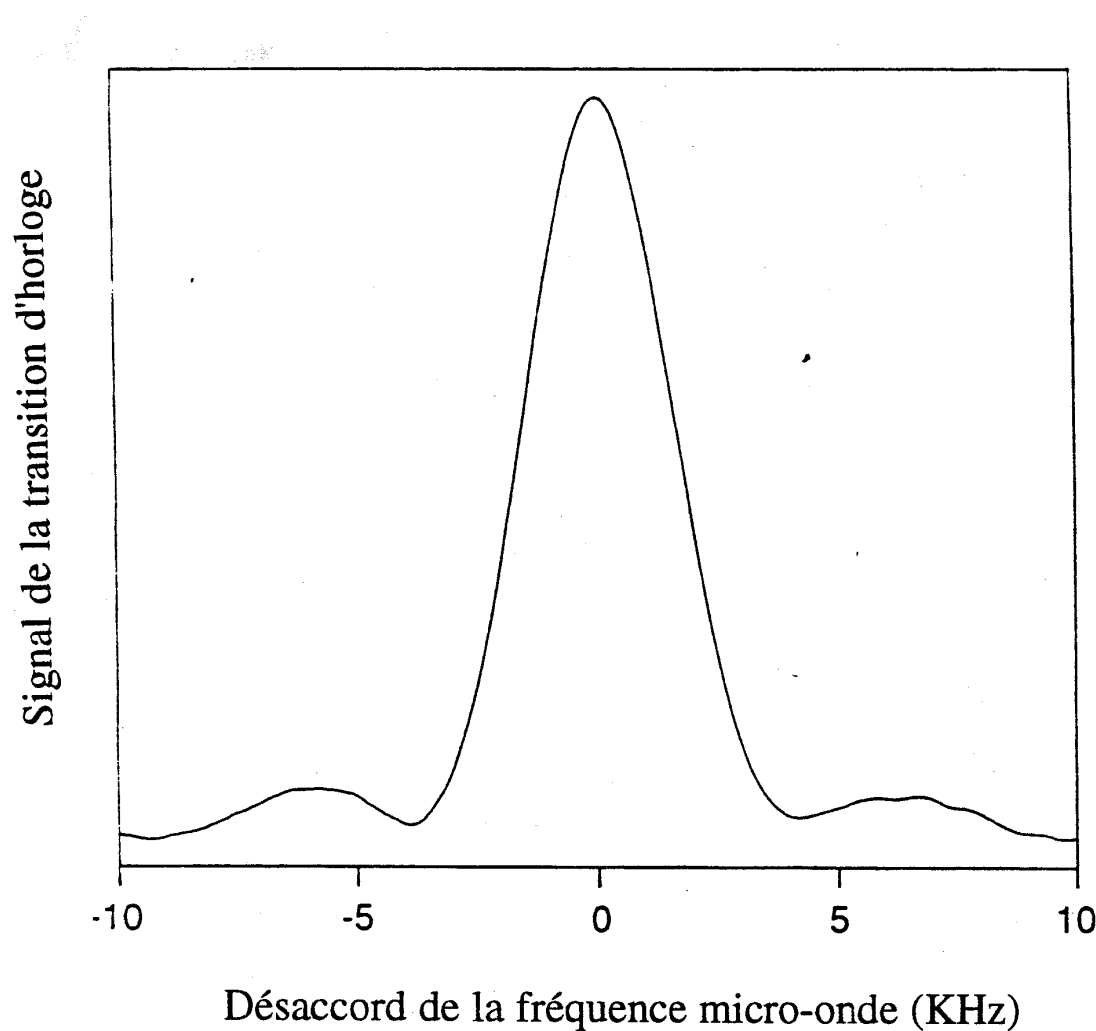
A résonance (N_2)
Fréquence de Rabi : Ω



Profil de Rabi



Profil de Rabi d'un jet ralenti à $v=50\text{m/s}$ sur transition d'horloge à Cs
Thèse de Saïda Guellati 1992, Opt. Comm. 82, 27 (1991)



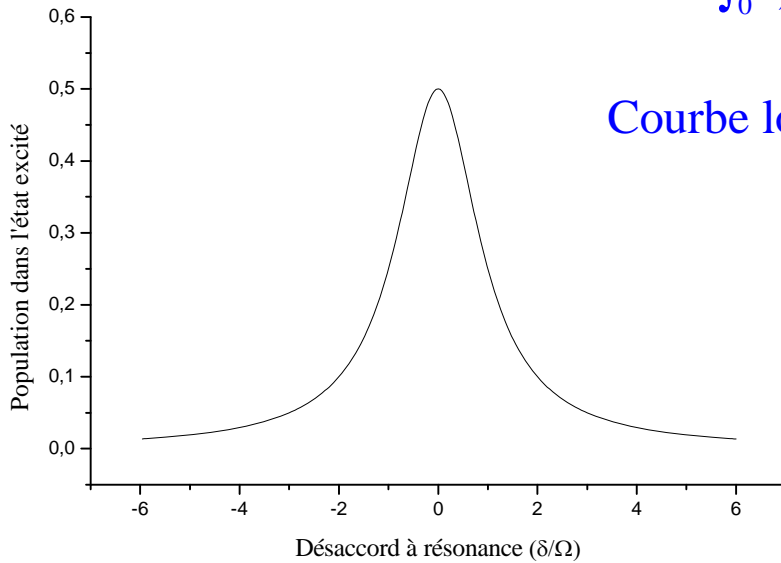
II.2.b - Influence du temps d'interaction

On suppose que les atomes "voient" le champ e.m. pendant un temps $t = t_{\text{int}}$ avec une probabilité $P(t)$

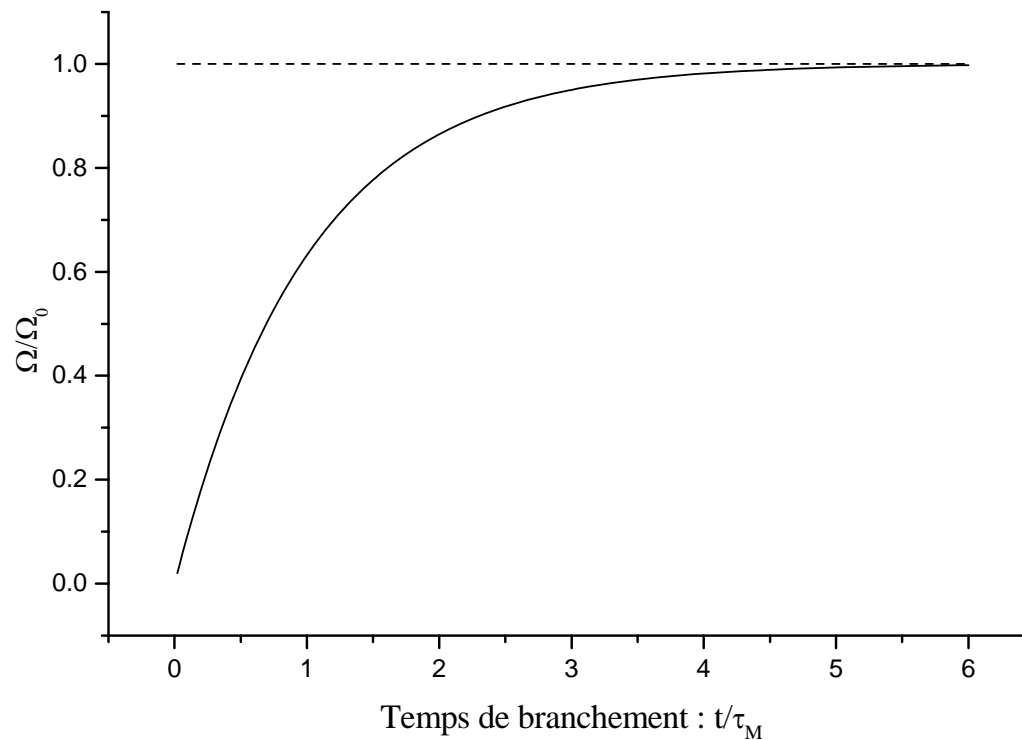
exemple : $P(t) = \frac{1}{\tau} \exp(-t / \tau)$, $\Gamma = \frac{1}{\tau}$

$$\bar{N}_2 = \int_0^{\infty} \frac{1}{\tau} \exp(-t / \tau) N_2(t) dt = \frac{1}{2} \frac{|\Omega|^2}{\delta^2 + |\Omega|^2 + \Gamma^2}$$

Courbe lorentzienne de largeur : $2\sqrt{|\Omega|^2 + \Gamma^2}$



II.2.c - Mode de branchement



$$\Omega(t) = \Omega_0 (1 - \exp(-t / \tau_M)), \quad \Gamma_M = 1 / \tau_M$$

Cas hors résonance

$\delta \gg |\Omega_0|$: un calcul de perturbation dépendant du temps suffit : $i \frac{d\alpha_2(t)}{dt} = -\delta\alpha_2(t) + \frac{\Omega_0^*}{2}(1 - \exp(-t/\tau_M))$

$$\alpha_2(t) = -i \exp i\delta t \int_0^t \frac{\Omega_0^*}{2}(1 - \exp(-t'/\tau_M)) \exp(-i\delta t') dt' = -i \exp i\delta t \frac{\Omega_0^*}{2} \left[\frac{\exp(-i\delta t) - 1}{-i\delta} - \frac{\exp(-i\delta t - \Gamma_M t) - 1}{-i\delta - \Gamma_M} \right]$$

$$t \gg \tau_M, \quad \alpha_2(t) = -i \exp i\delta t \frac{\Omega_0^*}{2} \left[\frac{\exp(-i\delta t)}{-i\delta} + \frac{\Gamma_M}{i\delta(i\delta + \Gamma_M)} \right]$$

$$N_2(t) = \frac{|\Omega_0|^2}{4\delta^2} \left| \frac{\Gamma_M}{(i\delta + \Gamma_M)} - \exp(-i\delta t) \right|^2; \quad \frac{\Gamma_M}{(i\delta + \Gamma_M)} = \sqrt{\frac{\Gamma_M^2}{\Gamma_M^2 + \delta^2}} \exp -i\theta, \quad \cos \theta = \frac{\Gamma_M}{\sqrt{\Gamma_M^2 + \delta^2}}, \quad \sin \theta = \frac{\delta}{\sqrt{\Gamma_M^2 + \delta^2}}$$

$$N_2(t) = \frac{|\Omega_0|^2}{4\delta^2} [\cos^2 \theta + 1 - 2 \cos \theta \cos(\delta t - \theta)], \text{ la population oscille entre } \frac{|\Omega_0|^2}{4\delta^2} [\cos \theta - 1]^2 \text{ et } \frac{|\Omega_0|^2}{4\delta^2} [\cos \theta + 1]^2.$$

$$\text{Population moyenne : } \bar{N}_2 = \frac{|\Omega_0|^2}{4\delta^2} [\cos^2 \theta + 1] = \frac{|\Omega_0|^2}{4\delta^2} \left[\frac{2\Gamma_M^2 + \delta^2}{\Gamma_M^2 + \delta^2} \right].$$

$$\text{Branchement soudain ou diabatique } \delta \ll \Gamma_M : \bar{N}_2 = \frac{|\Omega_0|^2}{2\delta^2}.$$

$$\text{Branchement adiabatique } \delta \gg \Gamma_M : \bar{N}_2 = \frac{|\Omega_0|^2}{4\delta^2}.$$

Cas à résonance

$$i \frac{d}{dt} \alpha_1(t) = \frac{\Omega(t)}{2} \alpha_2(t) = \frac{|\Omega(t)|}{2} \exp(i\varphi) \alpha_2(t)$$

$$i \frac{d}{dt} \alpha_2(t) = \frac{\Omega^*(t)}{2} \alpha_1(t) = \frac{|\Omega(t)|}{2} \exp(-i\varphi) \alpha_1(t)$$

φ phase indépendante du temps (champ monochromatique)

On pose : $\xi = \int_0^t \frac{|\Omega(t')|}{2} dt'$, et $\frac{d\xi}{dt} = \frac{|\Omega(t)|}{2}$

$$i \frac{d\alpha_1(\xi)}{d\xi} = \exp(i\varphi) \alpha_2(\xi), \quad i \frac{d\alpha_2(\xi)}{d\xi} = \exp(-i\varphi) \alpha_1(\xi)$$

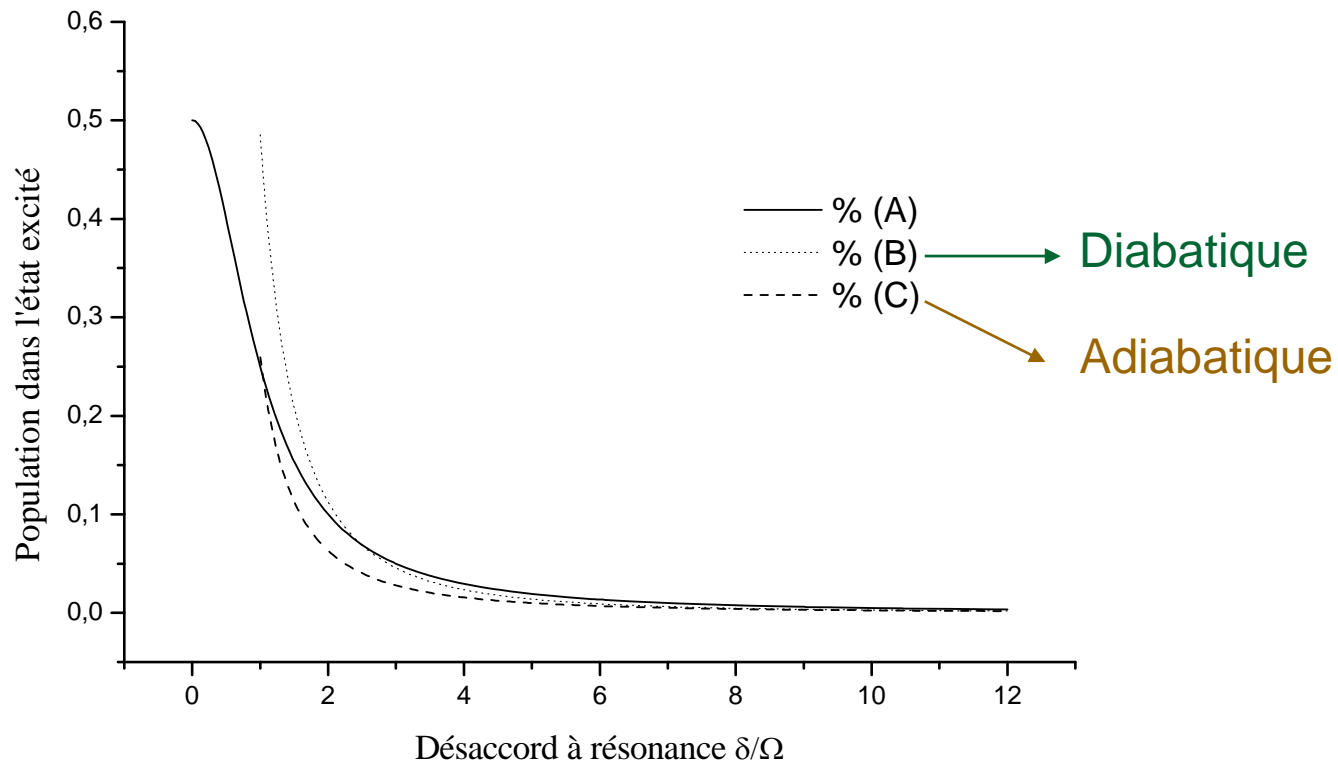
$$\frac{d^2\alpha_2(\xi)}{d\xi^2} + \alpha_2(\xi) = 0, \quad \text{avec : à } t=0; \xi=0, \alpha_1(\xi=0)=1, \alpha_2(\xi=0)=0$$

$$\alpha_2(\xi) = -i \exp(-i\varphi) \sin \xi, \quad \alpha_1(\xi) = \cos \xi; \quad \alpha_2(t) = -i \exp(-i\varphi) \sin \left[\int_0^t \frac{|\Omega(t')|}{2} dt' \right], \quad \alpha_1(t) = \cos \left[\int_0^t \frac{|\Omega(t')|}{2} dt' \right]$$

$$\Omega(t) = \Omega_0 (1 - \exp(-t/\tau_M)), \quad \xi = \frac{\Omega_0}{2} [t + \tau_M (\exp(-t/\tau_M) - 1)] \approx \frac{\Omega_0}{2} [t - \tau_M] \quad \text{si } t \gg \tau_M$$

$$\alpha_2(t) = -i \exp(-i\varphi) \sin \left[\frac{\Omega_0}{2} (t - \tau_M) \right], \quad \alpha_1(t) = \cos \left[\frac{\Omega_0}{2} (t - \tau_M) \right] \Rightarrow \bar{N}_2 = 1/2$$

Populations moyennes



II.2.d – Excitation impulsionnelle

Impulsion créneau T : $N_2(t > T) = \frac{|\Omega|^2}{\delta^2 + |\Omega|^2} \sin^2 \left(\frac{\sqrt{\delta^2 + |\Omega|^2}}{2} T \right)$, aire de l'impulsion : $\theta = |\Omega|T$

Impulsion quelconque (largeur T) :

$$(a) \text{ A résonance : } \alpha_1(t = +\infty) = \cos \left[\int_{-\infty}^{+\infty} \frac{|\Omega(t')|}{2} dt' \right], \quad \alpha_2(t = +\infty) = -i \exp(-i\varphi) \sin \left[\int_{-\infty}^{+\infty} \frac{|\Omega(t')|}{2} dt' \right]$$

$$\text{Aire de l'impulsion : } \theta = \int_{-\infty}^{+\infty} |\Omega(t)| dt$$

$$(b) \text{ Hors résonance } (\delta \gg \max |\Omega|) \text{ ou traitement perturbatif } (\theta \ll 1) : \alpha_2(t = +\infty) = -i \exp i\delta t \int_{-\infty}^{+\infty} \frac{\Omega^*(t')}{2} \exp(-i\delta t') dt'$$

(c) Cas général $\theta \geq 1$, $\max |\Omega| \geq \delta$: pas de solution analytique

$$\text{Excitation par une impulsion très brève } \delta T \ll 1 : i \frac{d}{dt} \alpha_1(t) = \frac{\Omega}{2} \alpha_2(t), \quad i \frac{d}{dt} \alpha_2(t) = -\delta a_2(t) + \frac{\Omega^*}{2} \alpha_1(t)$$

$$\alpha_2(t) = \beta_2(t) \exp i\delta t : i \frac{d}{dt} \alpha_1(t) = \frac{\Omega \exp i\delta t}{2} \beta_2(t) \approx \frac{\Omega}{2} \beta_2(t), \quad i \frac{d}{dt} \beta_2(t) = \frac{\Omega^* \exp -i\delta t}{2} \alpha_1(t) \approx \frac{\Omega^*}{2} \alpha_1(t)$$

$$\alpha_2(t_{final} \sim T) = -i \exp(-i\varphi) \sin \left[\int_{-\infty}^{+\infty} \frac{|\Omega(t')|}{2} dt' \right], \quad N_2(t_{final}) = \sin^2 \frac{\theta}{2}$$

II.2.e – Excitation d'un ensemble de niveaux proches par une impulsion courte

$$\hat{H} = \sum_{i=0,1,2} E_i |i\rangle\langle i| + \sum_{i=1,2} \left\{ \frac{\Omega_{0i}}{2} \exp i\omega t + \frac{\Omega_{0i}^*}{2} \exp -i\omega t \right\} [|i\rangle\langle 0| + |0\rangle\langle i|]$$

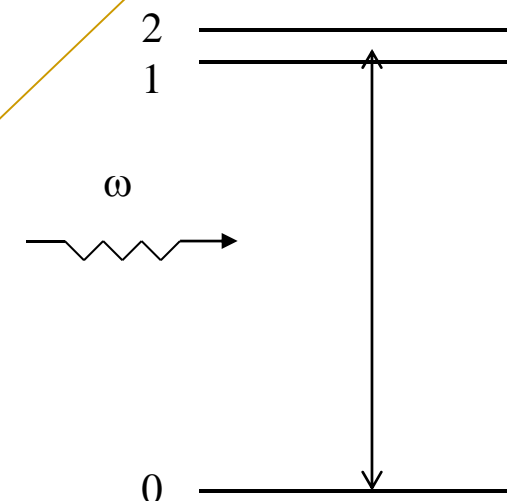
$$|\psi(t)\rangle = \alpha_0(t) \exp -\frac{iE_0t}{\hbar} |0\rangle + \alpha_1(t) \exp -\frac{iE_0t}{\hbar} \exp -i\omega t |1\rangle + \alpha_2(t) \exp -\frac{iE_0t}{\hbar} \exp -i\omega t |2\rangle$$

Impulsion courte : $\delta_{i=1,2} = \omega - (E_i - E_0)/\hbar$, $\delta_{i=1,2} T \ll 1$

$$i \frac{d\alpha_0(t)}{dt} = \frac{\Omega_{01}}{2} \alpha_1(t) + \frac{\Omega_{02}}{2} \alpha_2(t), \quad i \frac{d\alpha_{i=1,2}(t)}{dt} = -\delta_{i=1,2} \alpha_{i=1,2}(t) + \frac{\Omega_{0i=1,2}^*}{2} \alpha_0(t)$$

$$\text{Après excitation } \theta = \int_{-\infty}^{+\infty} \sqrt{|\Omega_{01}(t')|^2 + |\Omega_{02}(t')|^2} dt' : \alpha_0(t \sim T) = \cos \frac{\theta}{2},$$

$$\alpha_{i=1,2}(t \sim T) = -i \frac{\Omega_{0i=1,2}^*}{\sqrt{|\Omega_{01}(t')|^2 + |\Omega_{02}(t')|^2}} \sin \frac{\theta}{2}$$



II.3 – Franges de Ramsey

Méthode d'excitation en champs séparés

$$i \frac{d\alpha_1}{dt} = \frac{\Omega}{2} \alpha_2, \quad i \frac{d\alpha_2}{dt} = -\delta\alpha_2 + \frac{\Omega^*}{2} \alpha_1$$

Champ faible (ordre 1) :

$$i \frac{d\alpha_1}{dt} = 0, \quad i \frac{d\alpha_2}{dt} = -\delta\alpha_2 + \frac{\Omega^*}{2}$$

$$\alpha_1^{(0)} = 1, \quad \alpha_2^{(0)} = 0$$

$$\alpha_2(t) = \beta_2(t) \exp i\delta t, \quad i \frac{d\beta_2}{dt} = \frac{\Omega^*}{2} \exp -i\delta t, \quad \beta_2(t) = \int_0^t \frac{\Omega^*}{2i} \exp -i\delta t' dt'$$

$$\text{Impulsion créneau de durée } 2\tau : \quad \beta_2(t > 2\tau) = -i \frac{\Omega^*}{\delta} \exp -i\delta\tau \sin \delta\tau, \quad n_2(t > 2\tau) = \frac{|\Omega|^2}{\delta^2} \sin^2 \delta\tau$$

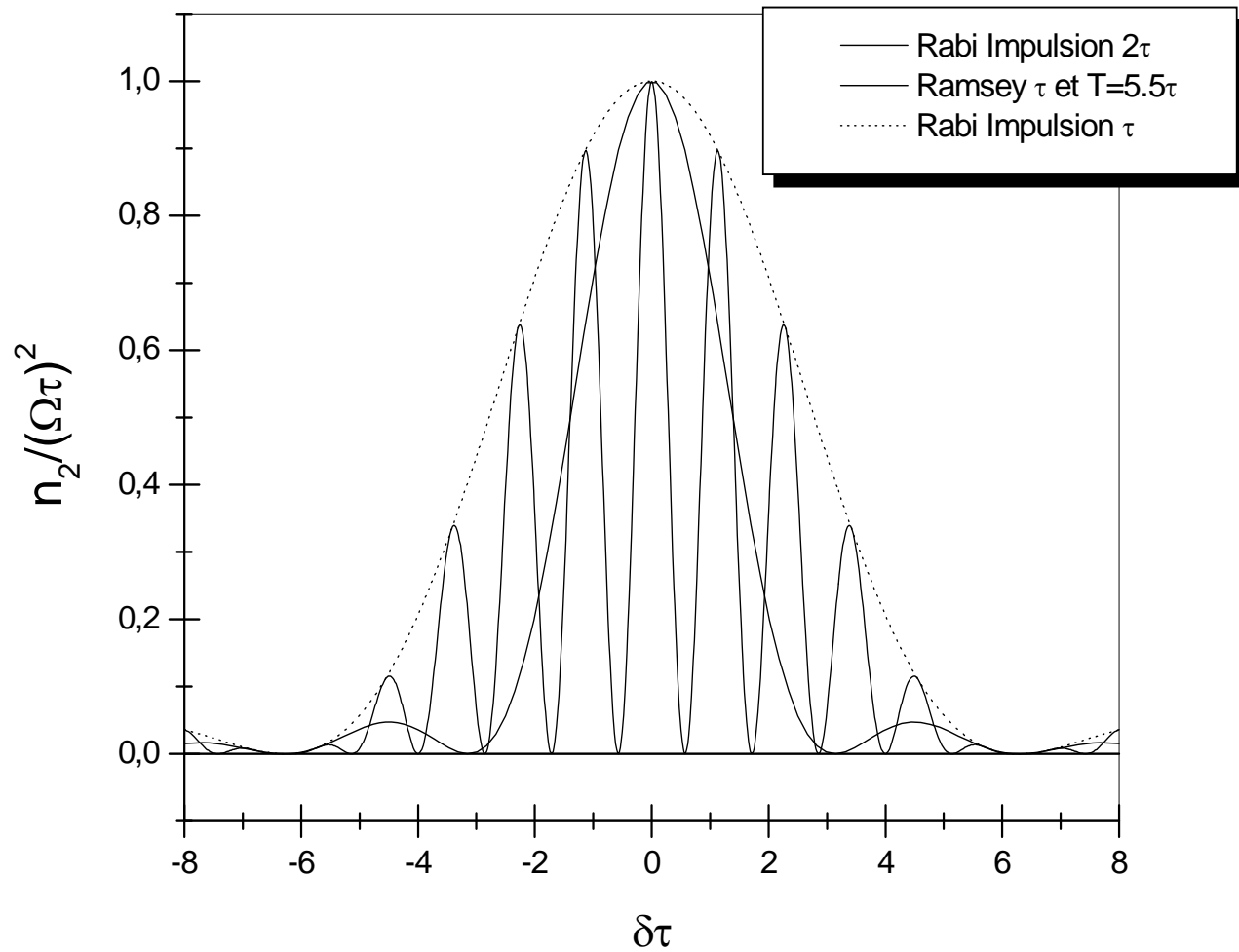
$$n_2(t > 2\tau) = |\Omega\tau|^2 \sin c^2 \delta\tau$$

Deux impulsions de durée τ , séparées par un temps T

$$\beta_2(t > 2\tau + T) = \int_0^\tau \frac{\Omega^*}{2i} \exp -i\delta t' dt' + \int_T^{T+\tau} \frac{\Omega^*}{2i} \exp -i\delta t' dt' = (1 + \exp -i\delta T) \left[-i \frac{\Omega^*}{\delta} \exp \frac{-i\delta\tau}{2} \sin \frac{\delta\tau}{2} \right]$$

$$n_2(t > 2\tau + T) = |\Omega\tau|^2 \sin c^2 \left(\frac{\delta\tau}{2} \right) \cos^2 \left(\frac{\delta T}{2} \right)$$

Analogie avec des fentes d'Young



Dispersion des temps d'interaction

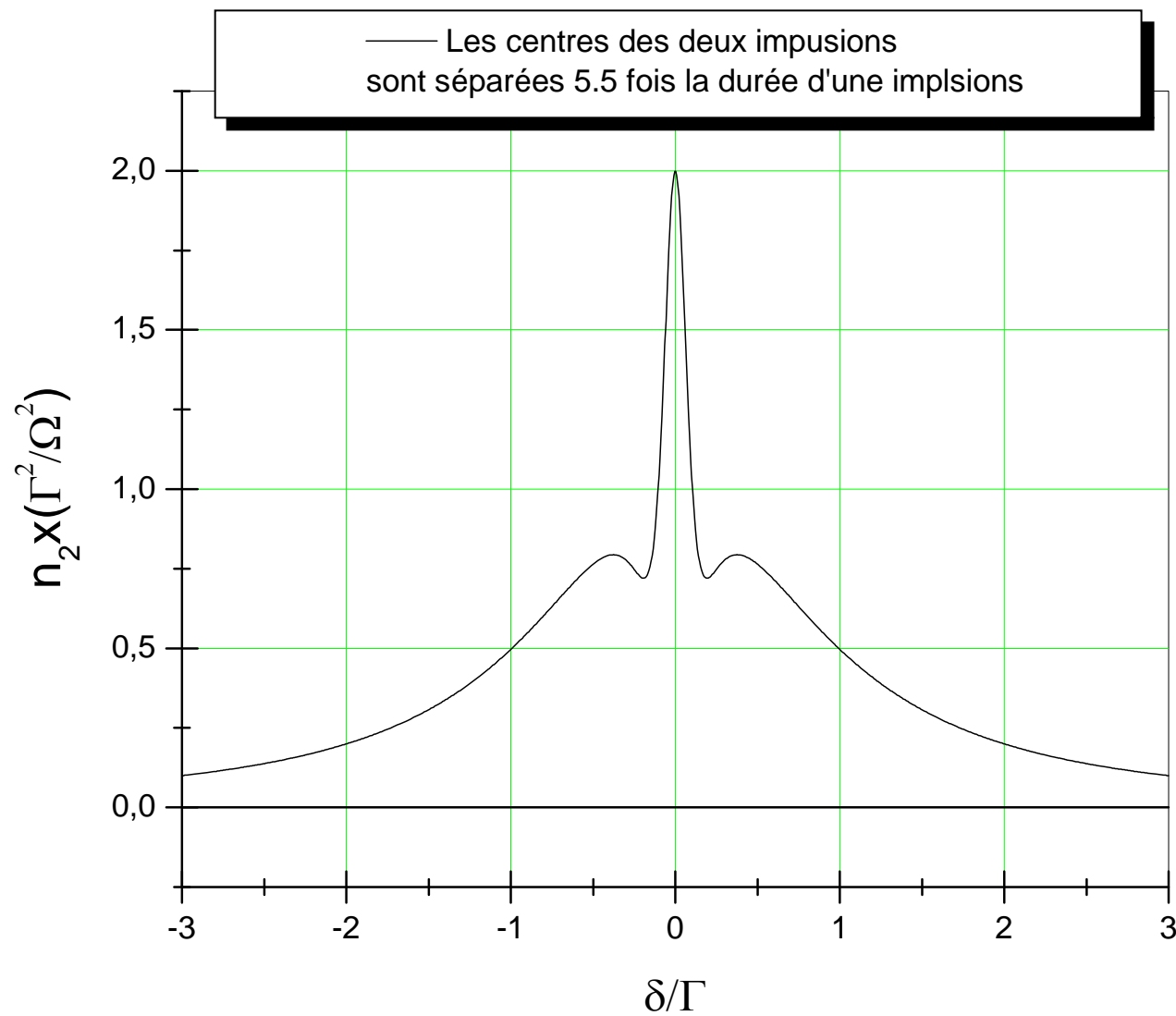
Deux impulsions de durée τ , séparées par un temps $T = \alpha\tau$,
mais avec dispersion du temps d'interaction τ

$$\bar{n}_2 = \int_0^\infty \frac{\exp(-\tau/\tau_0)}{\tau_0} |\Omega\tau|^2 \sin^2\left(\frac{\delta\tau}{2}\right) \cos^2\left(\frac{\delta\alpha\tau}{2}\right) d\tau$$

Analogie avec des fentes d'Young en lumière blanche
Conservation de la frange centrale

$$\bar{n}_2 = \frac{|\Omega|^2}{\delta^2} \left[1 - \frac{\Gamma^2}{\Gamma^2 + \delta^2} + \frac{\Gamma^2}{\Gamma^2 + \alpha^2 \delta^2} - \frac{1}{2} \frac{\Gamma^2}{\Gamma^2 + (\alpha+1)^2 \delta^2} - \frac{1}{2} \frac{\Gamma^2}{\Gamma^2 + (\alpha-1)^2 \delta^2} \right]$$

$$\Gamma = 1/\tau_0$$



N impulsions

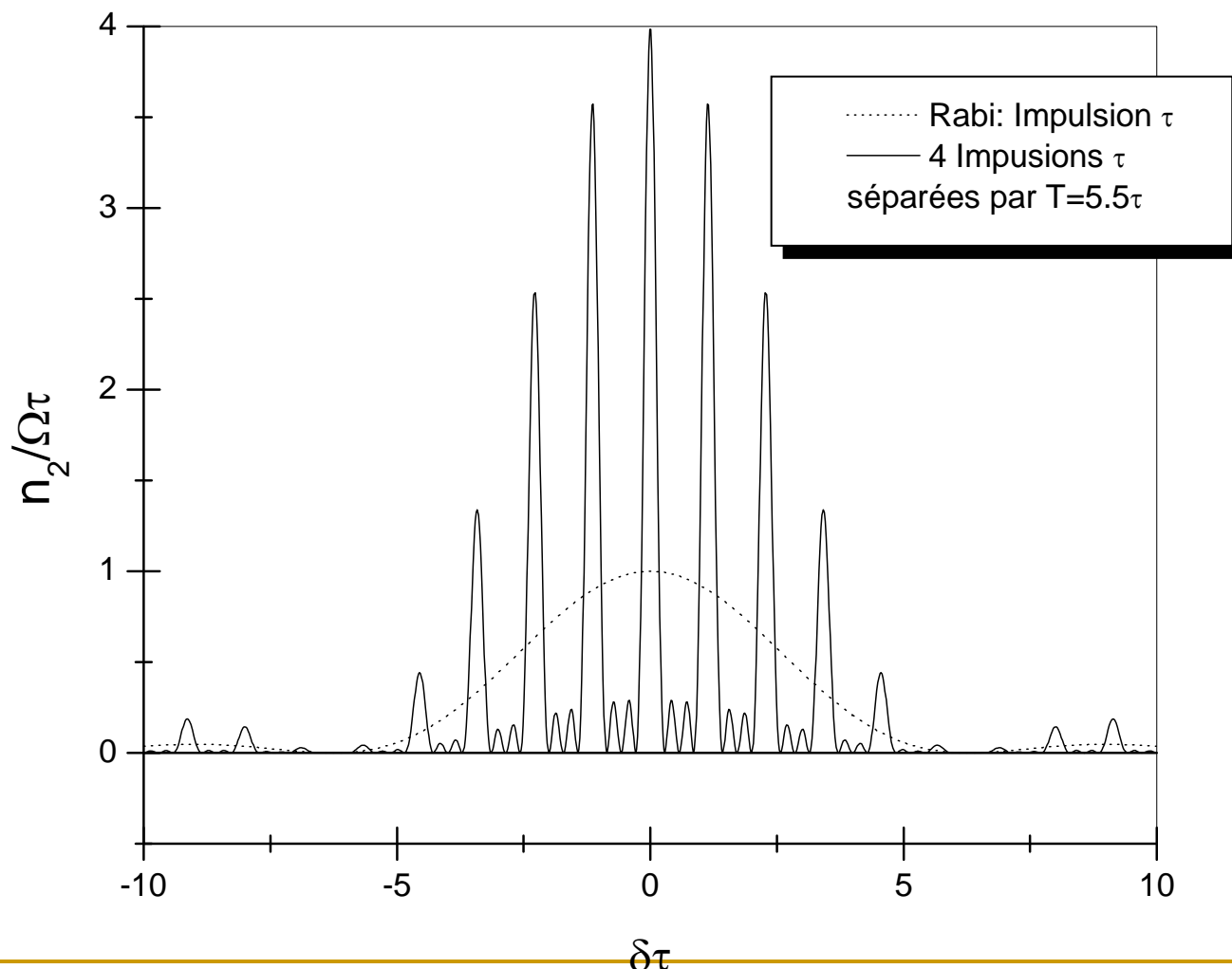
N impulsions de durée τ , séparées par un temps T

$$\beta_2(t) = \sum_{j=0}^{N-1} \int_{jT}^{jT+\tau} \frac{\Omega^*}{2i} \exp -i\delta t' dt' = \sum_{j=0}^{N-1} \exp -i\delta jT \left[-i \frac{\Omega^*}{\delta} \exp \frac{-i\delta\tau}{2} \sin \frac{\delta\tau}{2} \right]$$

$$n_2(t) = \frac{1}{4} |\Omega \tau|^2 \sin^2 \left(\frac{\delta\tau}{2} \right) \left| \frac{1 - \exp -i\delta NT}{1 - \exp -i\delta T} \right|^2$$

$$n_2(t) = \frac{1}{4} |\Omega \tau|^2 \sin^2 \left(\frac{\delta\tau}{2} \right) \frac{\sin^2 \left(\frac{\delta NT}{2} \right)}{\sin^2 \left(\frac{\delta T}{2} \right)}$$

Analogie avec un réseau de fentes



Deux impulsions $\pi/2$

$$i \frac{d\alpha_1}{dt} = \frac{\Omega}{2} \alpha_2 , \quad i \frac{d\alpha_2}{dt} = -\delta\alpha_2 + \frac{\Omega^*}{2} \alpha_1$$

$$\text{Impulsions } \pi/2 \ (\left| \Omega \right| \tau = \pi/2) : \alpha_1(\tau) = \left(\cos(\Omega' \tau / 2) - \frac{i\delta}{\Omega'} \sin(\Omega' \tau / 2) \right) \exp i\delta\tau / 2$$

$$\alpha_2(\tau) = -\frac{i\Omega^*}{\Omega'} \sin(\Omega' \tau / 2) \exp i\delta\tau / 2 , \text{ avec : } \Omega' = \sqrt{\left| \Omega \right|^2 + \delta^2}$$

$$\left| \frac{\delta}{\Omega} \right| \ll 1 , \quad \alpha_1(\tau) = \frac{\sqrt{2}}{2} , \quad \alpha_2(\tau) = -i \frac{\sqrt{2}}{2}$$

$$\text{Evolution libre de } \tau \text{ à } \tau + T : \alpha_1(\tau + T) = \frac{\sqrt{2}}{2} , \quad \alpha_2(\tau + T) = -i \frac{\sqrt{2}}{2} \exp i\delta T$$

Passage de la seconde impulsion $\pi/2$

$$\frac{d\alpha_2}{dt}(\tau + T) = i\delta \frac{\sqrt{2}}{2} \exp i\delta T + \frac{\Omega^*}{2} \frac{\sqrt{2}}{2} \approx \frac{\Omega^*}{2} \frac{\sqrt{2}}{2}$$

$$\alpha_2(2\tau + T) \approx \left(-i \frac{\sqrt{2}}{2} \exp i\delta T \cos(\Omega' \tau / 2) + \frac{\sqrt{2}}{2} \sin(\Omega' \tau / 2) \right) \exp i\delta\tau / 2$$

$$n_2(2\tau + T) = \cos^2 \left(\frac{\delta T}{2} \right)$$

2 impulsions $\pi/2$ (cas général)

$$i \frac{d\alpha_1}{dt} = \frac{\Omega}{2} \alpha_2, \quad i \frac{d\alpha_2}{dt} = -\delta \alpha_2 + \frac{\Omega^*}{2} \alpha_1$$

Impulsions $\pi/2$ ($|\Omega| \tau = \pi/2$) :

$$\begin{pmatrix} \alpha_1(\tau) \\ \alpha_2(\tau) \end{pmatrix} = M(\tau) \exp i \delta \tau / 2 \begin{pmatrix} \alpha_1(0) \\ \alpha_2(0) \end{pmatrix}$$

$$M(\tau) = \begin{pmatrix} \cos(\Omega' \tau / 2) - i(\delta / \Omega') \sin(\Omega' \tau / 2) & -i(\Omega / \Omega') \sin(\Omega' \tau / 2) \\ -i(\Omega^* / \Omega') \sin(\Omega' \tau / 2) & \cos(\Omega' \tau / 2) + i(\delta / \Omega') \sin(\Omega' \tau / 2) \end{pmatrix}$$

avec : $\Omega' = \sqrt{|\Omega|^2 + \delta^2}$

Evolution libre de τ à $\tau + T$: $\begin{pmatrix} \alpha_1(\tau + T) \\ \alpha_2(\tau + T) \end{pmatrix} = D(T) \begin{pmatrix} \alpha_1(\tau) \\ \alpha_2(\tau) \end{pmatrix}, \quad D(T) = \begin{pmatrix} 1 & 0 \\ 0 & \exp i \delta T \end{pmatrix}$

Passage de la seconde impulsion $\pi/2$: $\begin{pmatrix} \alpha_1(2\tau + T) \\ \alpha_2(2\tau + T) \end{pmatrix} = M(\tau) \exp i \delta \tau / 2 \begin{pmatrix} \alpha_1(\tau + T) \\ \alpha_2(\tau + T) \end{pmatrix}$

$$\begin{aligned} \alpha_2(2\tau + T) &= -i(\Omega^* / \Omega') \sin(\Omega' \tau / 2) \exp i \delta \tau \times \\ &\times \left\{ [\cos(\Omega' \tau / 2) - i(\delta / \Omega') \sin(\Omega' \tau / 2)] + [\cos(\Omega' \tau / 2) + i(\delta / \Omega') \sin(\Omega' \tau / 2)] \exp i \delta T \right\} \end{aligned}$$

$$n_2(2\tau + T) = 4 \frac{|\Omega|^2}{\Omega'^2} \sin^2 \left(\frac{\Omega' \tau}{2} \right) \left[\cos \left(\frac{\Omega' \tau}{2} \right) \cos \left(\frac{\delta T}{2} \right) - \frac{\delta}{\Omega'} \sin \left(\frac{\Omega' \tau}{2} \right) \sin \left(\frac{\delta T}{2} \right) \right]^2$$

